Mapa litoestratigráfico da parte oriental da Bacia Bauru. Escala 1:1.000.000

Ponto	Coordenadas UTM E	W	Localização	Unidade	Observações
ocorrência de sismitos					
1	298896	7511407	Usina Hidrelétrica Porto Primavera (SP)	rpa	estratificação contorcida
2	271863	7394300	NW de Maria Helena, NNE de Umuarama	rpa	estratificação contorcida
3	436919	7630960	Rod. SP 294 X SP 563 (rotatória)	vpx	dique clástico
contato geológico observável					
1	359862	7530769	Morro da Fazenda Santa Ida (SP)	rpa/sta/vpx	
2	345911	7423359	Rod. São Carlos do IvaÍ / Paraíso do Norte	goe/ksg	com pseudo-brecha
3	219895	7411883	Margem esquerda do rio Paraná, montante de Porto Camargo	rpa/ksg	com pseudo-brecha
4	427322	7461755	Água Piracaia, oeste de Guaraci	rpa/sta/vpx	
5	811576	7831364	Rod BR 050, km 153	pta/sga	
6	823730	7808190	Ferrovia X BR 050, ~km128,4	ube/ksg	
7	541659	7655764	Rod. SP 300	vpr/arç	posição estrarigráfica inversa
8	835666	7826682	Rod. Uberaba - Nova Ponte, km 25 (18 km de Uberaba)	ube/sga	
9	492115	7723720	Canal de Pereira Barreto	rpa/sta/vpx	
10	702382	7641240	Rod. SP 321, ~ km 472	arç/vpx	ocorrência fora da área principal
11	681275	7667646	Rod. SP 379, Ibirá (defronte à entrada do bairro São Benedito)	arç/vpx	
12	660500	7674803	Rod. Potirendaba - Nova Aliança, ~3,5 km de Nova Aliança	arç/vpx	
13	656793	7675170	Nova Aliança, entrada leste	arç/vpx	
14	493386	7616852	SP 541, ~ km 11	vpx/ppr	
outros afloramentos interessantes					
1	345311	7453408	Rod. BR 376, km 98,8, próx. Paranavaí	rpa	seção transversal de depósitos de dunas barcanas de grande porte
2	273311	7369088	Rod. Maringá / Umuarama, leste de Umuarama	rpa	seção longitudinal de depósitos de dunas barcanas de grande porte
3	435419	7491993	Rod. (terra), a norte de Maira	vpx	depósito de wadi, rico em ventifactos
4	775029	7599558	Rod. SP 310, km 293 (trevo para Barretos)	vpx	fácies de borda
5	816502	7816308	Rod. BR 050, ~km168,5 (NW de Uberaba)	ube	afloramento notável
6	824520	7812724	Ferrovia, entre os km 472 e 473	ube	aflorememto notável
7	810926	7836731	Rod. BR 050, km 149 (Vale do Ribeirão Água Limpa)	aga	
8	471626	7613499	Rod. SP 294, km 619,2 (a 1,5 km do trevo de Pacaembu)	ppr	feição olho de sigmóide
9	644337	7700809	Rod. SP 310, km 463 (464 e 465,2)	vpx	depósitos de dunas eólicas
10	527762	7745546	Rod. SP 563, km 325,3 (próx. de Palmeira do Oeste)	sta	calcrete pedogenético
11	710595	7831802	Fazenda da Cutrale	ech	calcrete pedogenético e tubos preenchidos
12	665007	7486792	Rod. SP 280, km 307	ech	litofácies Rubião Jr. (paleocorrentes para norte)
13	439779	7536244	Rod. que liga SP 272 a Taravaí, km 2,2	arç	fora da área principal de ocorrência
14	407336	7561361	Rod. BR 158, km 59	vpx	dunas isoladas em depósitos de lonçóis de areia e loessitos
15	460946	7597463	Rod. Alfredo Marcondes - Flora Rica, km 60,4	vpx	afloramento notável, depósitos de lençóis de areia e loessitos
16	491492	7597372	Rod. Adamantina - Mariápolis, a 3 km de Adamantina	vpx	feição olho de sigmóide
17	523058	7591589	Rod. SP 425, ~km 372 (entrada de Parapuã)	`ppr	seção de dique marginal; lobos de geometria sigmoidal
18	731246	7562149	Rod. SP 304, ~km 337 (6 km a NW de Bariri)	vpx	ocorrência no vale do Rio Tietê
19	700594	7531500	Bauru (norte da cidade, margem esquerda do rio Bauru)	vpx	próximo do contato com o Membro Echaporã
20	636783	7665499	Rod. BR 153, km 112,5 (próx. ao cruzamento com a SP 304)	arç	feições sigmoidais internas
21	550769	7606347	Rod. SP 425, entrada de Piacatu	vpx	ondulações eólicas notáveis
22	633463	7701174	Monte Aprazível, represa Lavínio Luches	vpx	depósitos de pequenas dunas, ondulações eólicas, depósitos dewadi
23	486222	7673595	Rod. SP 300, ~km 610	vpx	depósito de pequenas dunas eólicas, loessitos e depósitos dewadis
silisificação intensa					
1	365460	7509393	Morro do Diabo (SP)	rpa	
2	329496	7478726	Morro dos Três Irmãos (PR), topo do morro a NW	rpa	
3	359862	7530769	Fazenda Santa Ida (SP)	rpa/sta/vpx	
4	256891	7474111	Próx. a margem esquerda do rio Paraná, Faz. Porto Rico (?)	rpa	
5	388627	7576441	Faz. Alegria (SP)	rpa	
6	296234	7521709	Indianápolis	rpa	
7	435429	7492077	Rod. terra a norte de Maira	vpx	
contato recorrente observável					
1	298896	7613565	Rod. SP 425, km 329	arç/vpx	
2	651997	7677077	Rod. Nova Aliança, BR 153, ~ km de Nova Aliança	vpx/arç	ordem estratigráfica inversa
3	515776	7653773	Rod. SP 300, km 575	vpx/arç/vpx	
molde de cristais (gipsita)					
1	541659	7655764	Rod. SP 300	arç	pseudomorfos silicatos
2	581787	7661485	Rod. SP 461, km 40,1 (entrada para Brejo Alegre)	arç	
3	886993	7819892	Rod. SP 304, ~km 412	arç	associados a moldes de raizes
seção tipo principal					
1	298896	7511407	Usina Hidrelétrica Porto Primavera (SP)	rpa	
2	303909	7324612	Rod. Campo Mourão / Goio Erê	goe	
3					
4	523745	7566489	Rod. SP 457, km 87	vpr	
5	823730	7808190	Ferrovia X BR 050, ~km 128,41	ube	
6	544371	7688793	Rod. SP 300, km 546	arç	
7	616802	7526036	Rod. BR 153, km 275 (Serra do Mirante)	ech	
8	841030	7815707	Serra do Veadinho, próx. a Peirópolis	sga	
9	847795	7819018	Pedreira do Lajeado, Serra do Veadinho (Peirópolis)	pta	
10	671275	7698826	Rod. SP 425 X Rod. BR 153 (arredores de São José do Rio Preto)	srp	
11	469468	7549471	Rod. SP 425, km 442,4	ppr	
seção tipo complementar					
1	405841	7536869	Rod. SP 272, próx. do trevo de Paranapanema	vpr	
2	477865	7678912	Rod. SP 300, ~km 618	vpr	
3	633463	7701174	Monte Aprazível, represa Lavínio Luchesi	vpr	
4	595930	7518603	Rod. de ligação entre a Rod. SP 333 com Avencas, a 10,5 km de SP	ech	
5	685567	7847753	Rod. secundária (~km 121 da MG 497, Serra do Bonito)	ech	
6	758035	7642582	Rod. localizada a sul de Monte Alto	ech	
7	757887	7467613	Rod. SP 300, km 252,3 próx. acesso a Botucatu e Rubião Jr.	ech	
8	811576	7831384	Rod. BR 050, km 153	pta/sga	
9	459443	7549637	Rod. SP 425, km 456,4	ppr	
10	460705	7549381	Rod. BR 374, a 1,4 km do entroncamento com a rodovia SP 425	ppr	
moldes de raizes					
1	541659	7655764	Rod. SP 300	arç	
2	671275	7698826	Rod. SP 425 X Rod. BR 153 (arredores de São José do Rio Preto)	srp	
3	452585	7559465	Rod. Presidente Prudente - Alfredo Marcondes, a 2 km da SP 270	vpx	
4	686993	7619892	Rod. SP 304, ~km 412	arç	
5	523058	759189	Rod. SP 425, ~km 372, entrada de Parapuã	ppr	
local fossilífero					
1	455437	7542901	Ferrovia abandonada, próx. ao rio Santo Anastácio (acesso: km 463,1, rod. SP 425)	ppr	cascos de quelônios
2	492115	7726720	Canal de Pereira Barreto	vpx	fragmentos de ossos, dentes e crânios indeterminados
3	420995	7481241	Rod. PR 317, km 83,6	vpx	fragmentos de ossos
4	841553	7813686	Rod. BR 262, próx. à wentrada do Museu de Peirópolis	pta	fragmentos de ossos
5	551609	7716162	Rod. SP 310, km 556,9 (próx. do trevo de Jales)	vpx	fragmentos de ossos
6	640384	7717467	Rod. SP 320, km 476,5 e km 478,5, próx. de Tanabi	srp	fragmentos de ossos
7	671275	7698826	Rod. SP 425 X Rod. BR 153 (arredores de São José do Rio Preto)	srp	
8	684351	7675445	Rod. SP 310 - Ibirá, km 3,2	vpx	bivalves
9	844354	7815562	Rod. BR 262, km 780,3 (a 779,3 - 4 cortes)	sga	fragmentos de ossos
sítio paleontológico					
1	841030	7815707	Serra do Veadinho, próx. a Peirópolis	sga	ossos e dentes de dinossauros, crânios e dentes de crocodilos, frag. de peixes
2	759941	7644946	Periferia de Monte Alto (SP), entrada do Campestre Clube	ech	ossos de dinossauros, bivalves
lavra de calcário em atividade					
1	801192	7859400	Mineração Partezan	pta	frentes de lavra
2	801393	7858764	Mineração Triângulo	pta	frentes de lavra
3	848885	7816112	Mineração Minas Oeste	pta	frentes de lavra
lavra de calcário abandonada					
1	847795	7819018	Pedreira do Lajeado, Serra do Veadinho (Peirópolis, MG)	pta	frentes de lavra
2	739258	7909483	Faz. do Vale Verde, próx. a Monte Alegre de Minas	pta	frentes de lavra
3	736641	7909633	Miveração de Monte Alegre de Minas	pta	frentes de lavra
estruturas tectônicas (falhas)					
1	365460	7509393	Morro do Diabo	rpa	falha normal
2	298896	7511407	Usina Hidrelétrica de Porto Primavera (SP)	rpa	falhas direcionais e falha inversa
3	446587	7536233	Rod. SP 425, km 477, trevo para Teodoro Sampaio	vpx	falha inversa e direcional
4	504552	7594628	Rod. SP 294, km 578,2 (sob o viaduto de Inúbia Paulista	vpx	adernamento de camadas
5	756585	7572220	Rod. Presidente Prudente, trevo de Alfredo Marcondes	vpx	adernamento de camadas

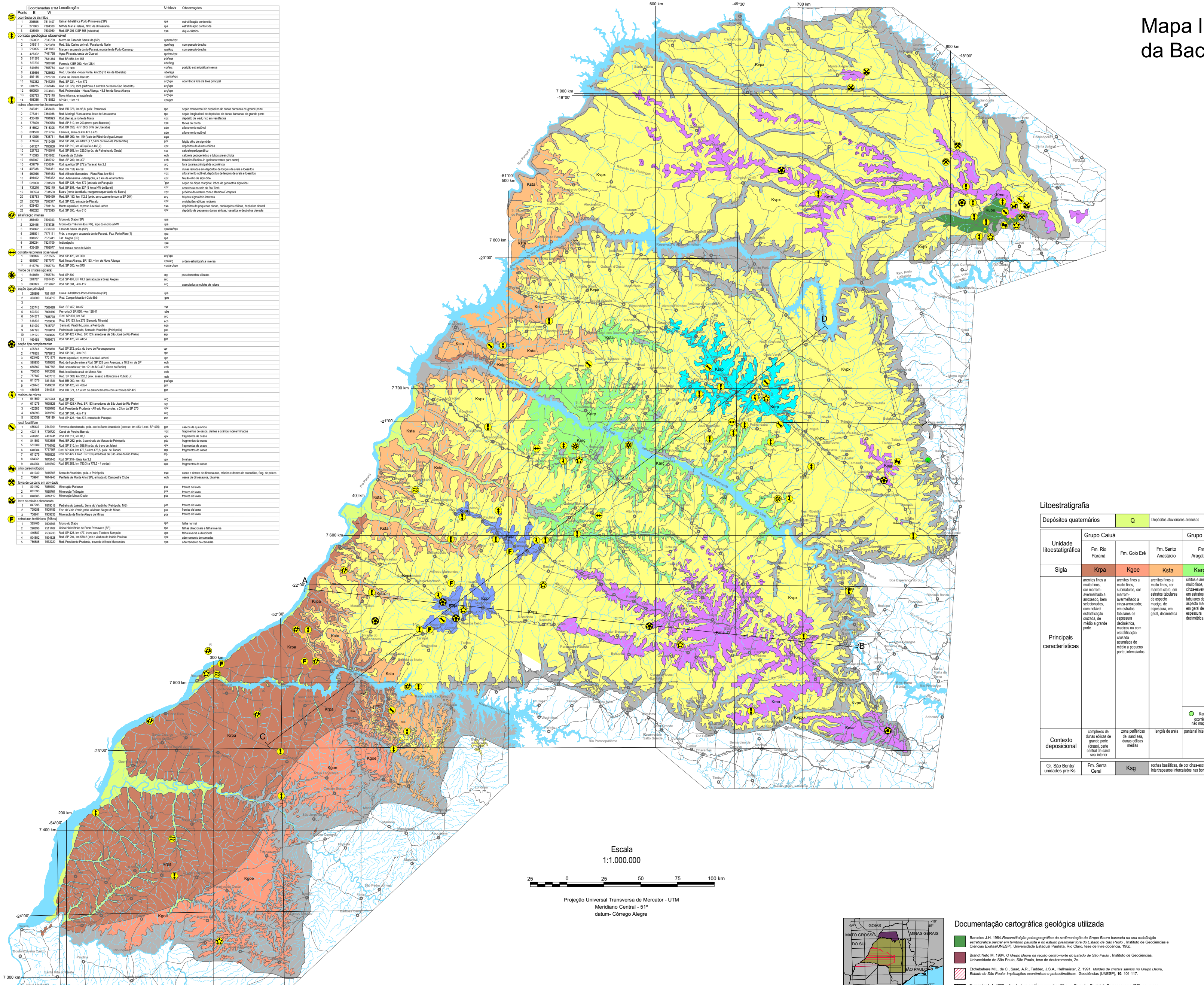

Escala 1:1.000.000

25 0 25 50 75 100 km

Projeção Universal Transversa de Mercator - UTM
Meridiano Central - 51°
datum- Córrego Alegre

Relações estratigráficas

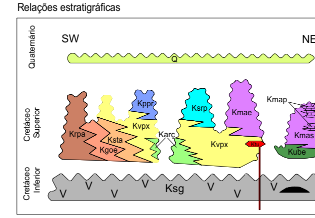

Litoestratigrafia

Depósitos quaternários	Q	Depósitos aluvionares arenosos

Unidade litoestatigráfica	Grupo Caiuá: Fm. Rio Paraná	Grupo Caiuá: Fm. Goio Erê	Grupo Caiuá: Fm. Santo Anastácio	Grupo Bauru: Fm. Araçatuba	Grupo Bauru: Fm. Vale do Rio do Peixe	Grupo Bauru: Fm. Uberaba	Grupo Bauru: Fm. Marília			Grupo Bauru: Fm. São José do Rio Preto	Grupo Bauru: Fm. Presidente Prudente	Analcimitos Taiúva (não aflorante)
Sigla	Krpa	Kgoe	Ksta	Karç	Kvpx	Kube	Kma			Ksrp	Kppr	Ktu
Principais características	arenitos finos a muito finos, cor marrom-avermelhado a arroxeado, bem selecionados, com notável estratificação cruzada, de médio a grande porte	arenitos finos a muito finos, submaturos, cor marrom-avermelhado a cinza-arroxeado; em estratos tabulares de espessura decimétrica, maciços ou com estratificação cruzada acanalada de médio a pequeno porte, intercalados	arenitos finos a muito finos, cor marrom-claro, em estratos tabulares de aspecto maciço, de espessura, em geral, decimétrica	siltitos e arenitos muito finos, cor cinza-esverdeado, em estratos tabulares de aspecto maciço, em geral de espessura decimétrica Karç: ocorrência não mapeável	arenitos muito finos a finos seleção moderada a boa, marrom-claro, rosado a alaranjado; em estratos tabulares maciços ou com estratificação grosseira intercalados com unidades de espessura submétrica, com estratificação cruzada e lamitos arenosos maciços	arenitos muito finos, lamitos siltosos, cinza esverdeados a grossa e grânulos, verde-oliva (típica). Apresenta estruturas maciça, estratificadas, cruzada tabular/ acamadada e laminação plano-paralela. Estratos tabulares e lenticulares amalgamados. Intercalações subordinadas de lamitos, argilitos e conglomerados. Exibe brecha basal. Rochas epiclásticas de origem ígnea, rica em grãos de peroviskita.	Mb. Serra da Galga: (Kmas) aren., aren. conglomeráticos grossos a finos, imaturos, amarelados, em estratos lenticulares. Estrat. cruzada lentes de lamitos (marrons) e conglomerados (silicosos, nódulos carbonáticos arenitos, pelitos, basaltos e outras rochas ígneas, frag. de ossos, lentes de lamitos, parte são ventifactos). Podem ser cimentados por carbonatos e conter crostas de sílex. Importantes jazigos de répteis de grande porte (dinossauros, crocodilos e quelônios).	Mb.Ponte Alta (Kmap): "calcários impuros" esbranquiçados (1. arenoso, de aspecto maciço; 2. conglomerático, polimítico de matriz arenosa "casco de burro"; 3.fino fragmentado), em corpos lenticulares a tabulares, decimétricos, às vezes com estratificação plano-paralela, cruzada, feições de escavação, mascaradas pela cimentação. Os calcários finos têm cor cinza esverdeado, textura de mosaico (pseudobrecha) com vênulas carbonato e concentração local de sílica.	Mb.Echaporã (Kmae): arenitos finos a médios, imaturos, marrom claro a rosados, com areia grossa e grânulos, estratos tabulares de aspecto maciço, às vezes com estratificação cruzada de médio porte. Cimentação e nódulos carbonáticos. Interc. de lamitos e arenitos lamíticos de cor marrom. As litofácies conglomeráticas são constituídas por intraclastos (carbonáticos e lamíticos) e por extraclastos silicosos às vezes ventifactos. Litofácies Rubião Júnior (SP): lentes arenosas e conglomerados, clastos até 18 cm, a maioria de basalto.	arenitos finos a muito finos, com frações areia média e grossa, freqüentemente conglomerático, de seleção moderada a má, cor marrom-claro a bege, com estratificação cruzada acanalada a tabular tangencial na base (padrão festonado). Podem ocorrer intercalações subordinadas arenitos a siltitos com estratificação plano-paralela e estruturas de fluxo aquoso de regime inferior	arenitos muito finos a finos de seleção moderada a má, matriz lamítica, cor marrom-avermelhado claro a bege, e lamitos argilosos marrom-escuro (chocolate); feições de preenchimento de canais rasos, com estratificação cruzada acanalada; corpos tabulares com estratificação sigmoidal interna; com estratificação plano-paralela e estruturas de fluxo aquoso de regime inferior dominante e maciços	rocha ígnea de natureza alcalina, marrom-claro a avermelhado, textura afanítica, Algumas vezes apresentam amígdalas e fraturas preenchidas por calcita
							Kma: ocorrência não mapeável					
Contexto deposicional	complexos de dunas eólicas de grande porte (draas), parte central de sand sea interior	zona periféricas de sand sea, dunas eólicas médias	lençóis de areia	pantanal interior	lençóis de areia com campos de dunas baixas, depósitos de loesse e de wadis	Sistema fluvial entrelaçado	Leques aluviais medianos a distais, sistemas fluviais entrelaçados Peq. dunas eólicas e fluxos densos esporádicos (Mbs. Serra da Galga e Ponte Alta). Partes distais (saias) de leques aluviais, interc de dep. de pavimentos de deflação e calcretes pedogenéticos (Mb. Echaporã). Litofácies Rubião Júnior (SP): dep. proximais de leques.			sistema fluvial entrelaçado arenoso	sistema fluvial meandrante arenoso fino, de canais rasos	vulcânica extrusiva

Gr. São Bento/ unidades pré-Ks	Fm. Serra Geral	Ksg	rochas basálticas, de cor cinza-escuro a arroxeado, com arenitos intertrapeanos intercalados nas bordas	vulcânicas extrusivas

Intrusão alcalina de Jaboticabal

Seções geológicas

escala horizontal 1:1.000.000
escala vertical 1:40.000

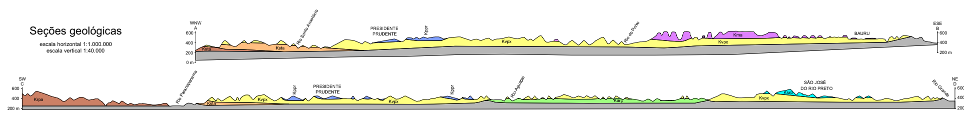

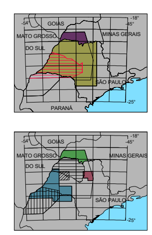

Documentação cartográfica geológica utilizada

Barcelos J.H. 1984. *Reconstituição paleogeográfica da sedimentação do Grupo Bauru baseada na sua redefinição estratigráfica parcial em território paulista e no estudo preliminar fora do Estado de São Paulo*. Instituto de Geociências e Ciências Exatas/UNESP). Universidade Estadual Paulista, Rio Claro, tese de livre docência, 190p.

Brandt Neto M. 1984. *O Grupo Bauru na região centro-norte do Estado de São Paulo*. Instituto de Geociências, Universidade de São Paulo, São Paulo, tese de doutoramento, 2v.

Etchebehere M.L. de C., Saad, A.R., Taddeo, J.S.A., Hellmeister, Z. 1991. *Moldes de cristais salinos no Grupo Bauru, Estado de São Paulo: implicações econômicas e paleoclimáticas.* Geociências (UNESP), **10**: 101-117.

Fernandes L.A. 1992. *A cobertura cretÁcea suprabasáltica no Paraná e Pontal do Paranapanema (SP): os grupos Bauru e Caiuá. Instituto de Geociências, Universidade de São Paulo,São Paulo, Dissertação de Mestrado, 129p.*

Hasui Y. 1967. *Geologia das formações cretáceas do oeste de Minas Gerais*. Depto. Eng. de Minas da Escola Politécnica, Universidade de São Paulo, São Paulo, Tese de doutoramento, 87p.

Instituto de Pesquisas Tecnológicas do Estado de São Paulo S/A. 1981. *Mapa Geológico do Estado de São Paulo.* Escala 1:500.000. Nota explicativa. São Paulo, monografias, 6, vII (2 mapas).

Soares P. C., Landim P.M.B., Fúlfaro V.J., Amaral G., Suguio K., Coimbra A.M., Sobreiro Neto A.F., Giancursi F., Correa W.A.G., Castro C.G.L. 1979. *Geologia da região sudoeste do Estado de São Paulo*.In: SIMPÓSIO REGIONAL DE GEOLOGIA, 2., Rio Claro, atas. Sociedade Brasileira de Geociências / Núcleo SP, v.2, p.307-319.

Stein D.P., Melo M.S. de, Bistrichi C.A., Almeida M.A. de, Hasui Y. Ponçano W., Almeida F.F.M. de. 1979. *Geologia de parte dos vales dos rios Paraná e Paranapanema*. In: SIMPÓSIO REGIONAL DE GEOLOGIA, 2., Rio Claro, Atas, Sociedade Brasileira de Geologia / Núcleo SP, v2: 291-306 (2 mapas anexos).

Suguio, K.; Fúlfaro, V.J.; Amaral, G.; Guidorzi, L.A. 1977. *Comportamentos estratigráficos e estrutural da Formação Bauru nas regiões administrativas 7 (Bauru), 8 (São José do Rio Preto) e 9 (Araçatuba) no Estado de São Paulo*. In: SIMPÓSIO DE GEOLOGIA REGIONAL, REGIONAL, 1, São Paulo, atas, S%%227o Paulo, Sociedade Brasileira de Geologia / Núcleo SP. p.231-247.

Convenções cartográficas

rodovia
ferrovias
hidrografia
E 800 km / N 7 500 km — coordenadas UTM
Bauru — cidades
LON -51°00' / LAT -23°00' — coordenadas geográficas

escala 1:1.000.000

Mapa litoestratigráfico da parte oriental da Bacia Bauru
Fernandes, L.A.
Boletim Paranaense de Geociências 55